

**Pb(Mg<sub>1/3</sub>Nb<sub>2/3</sub>)O<sub>3</sub>-PbTiO<sub>3</sub>계 완화형 강유전체의  
특성에 미치는 PbTiO<sub>3</sub> 첨가량의 영향  
- II. 상전이 및 전계인가 변위특성 -**

박재환 · 김인태 · 김동영 · 조서용 · 홍국선 · 박준자

서울대학교 무기재료공학과

(1996년 1월 26일 접수)

**Effect of PbTiO<sub>3</sub> Concentration on the Properties of  
Pb(Mg<sub>1/3</sub>Nb<sub>2/3</sub>)O<sub>3</sub>-PbTiO<sub>3</sub> Relaxor Ferroelectrics  
- II. Phase Transition and Electric-field-induced Strains -**

Jae-Hwan Park, In-Tae Kim, Dong-Young Kim, Seo-Yong Cho, Kug Sun Hong and Soon Ja Park

Dept. of Inorg. Mater. Eng., Seoul Nat. Univ.

(Received January 26, 1996)

**요약**

본 연구에서는 완화형 강유전체의 가장 대표적인 PMN에서 첨가제의 종류와 함량, 측정 온도의 변화, 인가 전계의 형태 등에 따른 유진적 성질, 초전적 성질, 전계인가 변위특성을 광범위하게 조사하여 그 상관관계를 밝힐과 아울러 PZT系 징상 강유전체의 유전, 초전, 변위특성 등과 비교하여 강유전체에서의 전압인가 변위특성을 종합적으로 이해하는 것을 목표로 하고 있다. x(PT)=0.30~0.35의 조성에 있어서는 유전율의 peak는 rhombohedral-tetragonal transition에서는 나타나지 않고 tetragonal-cubic transition에서 나타나는 것을 볼 수 있다. 그러나 T<sub>smax</sub> (strain의 최대온도)는 rhombohedral-tetragonal peak과 일치된다. Tetragonal-cubic transition에서는 strain의 증가가 전혀 관찰되지 않는다. x(PT)=0.4인 경우 및 참고로 조사한 PZT와 BT의 경우 strain은 전 온도구간에서 단조 감소하였다. 이를 통해 tetragonal-cubic의 normal phase transition에서는 strain의 증가가 없고 rhombohedral에서 tetragonal 혹은 rhombohedral에서 cubic으로의 확산상전이에서만 strain의 증가가 나타난을 알 수 있다.

**ABSTRACT**

In order to understand the electrostrictive behavior of Pb(Mg<sub>1/3</sub>Nb<sub>2/3</sub>)O<sub>3</sub>-PbTiO<sub>3</sub> (PMN-PT) solid solutions, the dielectric constants, the electric-field-induced strains, and the pyroelectric coefficients of (1-x)PMN-xPT ( $x=0.1\sim 0.4$ ) were investigated in the temperature range -50~200°C. For  $x=0.1\sim 0.35$ , where the phase transition is diffusive, the strain has a maxima at the temperature of maximum pyroelectric coefficient (depolarizing temperature) rather than the temperature of maximum dielectric constant. For  $x=0.4$ , where the phase transition is relatively sharp, the strain decreases monotonically as the temperature increases. Relationships among the above experimental results are discussed.

**Key words:** Pb(Mg<sub>1/3</sub>Nb<sub>2/3</sub>)O<sub>3</sub>, Electrostrictive, Relaxor, Strain, Phase transition

**I. 서 론**

전보(I)<sup>1,2</sup>를 통하여서는 Pb(Mg<sub>1/3</sub>Nb<sub>2/3</sub>)O<sub>3</sub>(PMN)에 첨가제로서 PbTiO<sub>3</sub>(PT)를 0~40 mol% 첨가하여서 -50~200°C까지의 유전특성 및 전계인가 변위특성을 조사할 수 있다. 특히 PT 함량의 변화에 따라서 T<sub>max</sub>(1 kHz에서

두 인을 최대가 되는 온도)의 strain 최대온도인 T<sub>smax</sub>의 변화가 등을 관찰하였다. 그 결과 각 조성에서 T<sub>smax</sub>와 T<sub>max</sub>의 관계를 살펴보면 x(PT)=0.30~0.35의 조성에 있어서는 유전율의 peak는 tetragonal-cubic transition에서 나타나지만 T<sub>smax</sub>는 rhombohedral-tetragonal transition과 일치됨을 알 수 있었다. 또한 tetragonal-cubic tra-

nsition에서는 strain의 증가가 전혀 관찰되지 않았다. 이를 통해 tetragonal-cubic의 normal phase transition에서는 strain의 증가가 없고 rhombohedral에서 tetragonal 혹은 rhombohedral에서 cubic으로의 확산상전이에서만 strain의 증가가 나타남을 추측할 수 있었는데 본 보에서는 이러한 전보의 결과를 확정적으로 관찰하고 이러한 결과가 나타나는 이유를 자세히 고찰하고자 한다. 따라서 본 연구에서는 초전전류의 온도의존성을 각 조성에 대하여 조사하고  $T_{\text{cmax}}$ 와  $T_{\text{max}}$ 의 정확한 관계를 살펴보는 것을 목표로 하고 있으며 아울러 BaTiO<sub>3</sub> 및 Pb(Zr<sub>1/2</sub>Ti<sub>1/2</sub>)O<sub>3</sub> 등에서의 결과와 비교하여 상전이와 strain에 관하여 종합적으로 고찰하는 것을 목표로 하고 있다.

## 2. 실험방법

시편준비과정과 측정방법은 전보(I)에서의 내용과 동일하며 다만 초전특성은 가장 표준적으로 채택되고 있는 Byer와 Roundy 등에 의한 방법으로 측정하였다<sup>2)</sup>. 이는 시편을 상전이 온도보다 충분히 낮은 저온에서 충분히 분극된 상태로 만든 후 승온시킬 때 시편의 자발분극의 크기가 변화되면서 시편의 전극에 나타나는 초전전류를 측정하는 방법이다. 모든 시편을 -50°C의 온도에서 10분 이상 시편의 항전체(0.6PMN-0.4PT의 경우 700 V/mm<sup>11)</sup>) 보다 충분히 높은 1.5 kV/mm의 전계를 인가하여 시편을 분극시켰다. 분극시간을 10분 이상 길게 하거나 분극전계를 더 증가하여도 발생하는 초전전류의 크기의 변화가 없는 것으로부터 소결체에서 충분한 분극이 이루어졌다는 것을 확인하였다. 분극 후 승온속도를 6°C/min으로 하여 실리콘 오일 중에서 승온하였다. 이 때 자발분극의 크기가 감소하면서 이에 비례하는 초전전류가 발생하는데 이 때 초전계수  $p$ 는 승온속도와 시편의 형상에 무관한 물질상수로 얻어지게 된다.

## 3. 결과 및 고찰

### 3.1. PT함량에 따른 유전특성 및 초전특성

Fig. 1에 PT함량이 10~40 mol%까지 변화됨에 따른 초전특성의 변화를 나타내었다. BaTiO<sub>3</sub>(BT)나 Pb(Zr<sub>1/2</sub>Ti<sub>1/2</sub>)O<sub>3</sub>(PZT)와 같은 정상 강유전체의 경우는 상전이가 일어나는 Curie 온도에서 잔류분극의 크기가 불연속적으로 급속히 변화되므로 초전전류는 날카로운 peak을 보이게 되며 이는 Curie 온도에 일치하게 된다<sup>9)</sup>. 그러나 PMN-PT계에서는 그림에서 보는 것과 같이 전반적으로

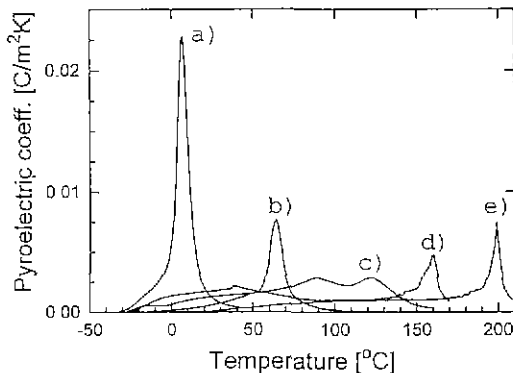


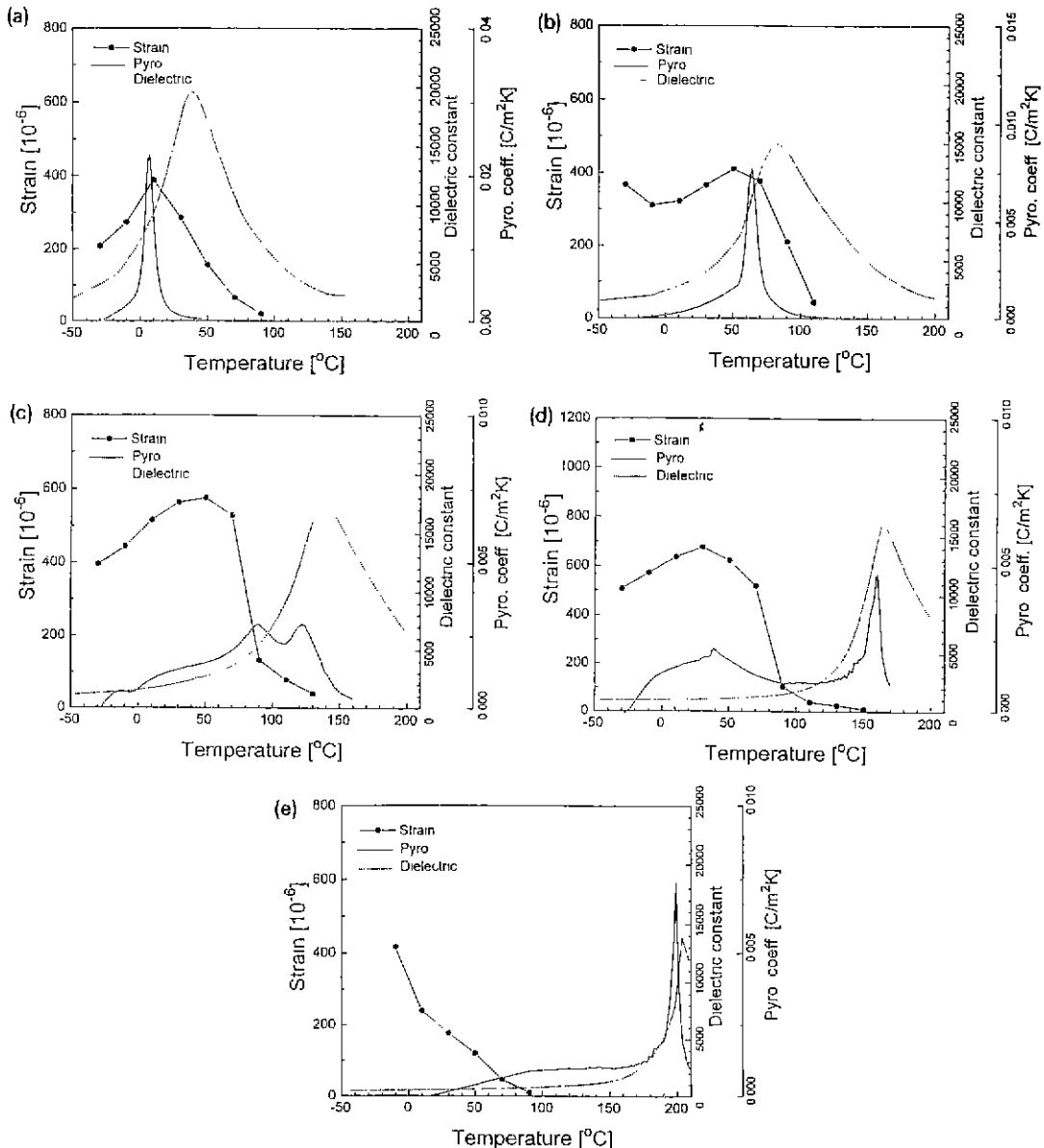
Fig. 1. Temperature dependence of the pyroelectric coefficients measured at 1 kHz in (1-x)PMN-xPT, where  $x=0.10$  (a),  $x=0.20$  (b),  $x=0.30$  (c),  $x=0.35$  (d) and  $x=0.40$  (e).

완만한 peak이 관찰되며  $x(\text{PT})=0.30\sim0.35$ 까지의 조성에서는 두개의 peak이 관찰되고 있다. 또한 초전전류의 peak은 BT나 PZT와는 달리  $T_{\text{cmax}}$ 와 일치하지 않는데 이는 PMN계가 아닌 다른 완화형 강유전체에서도 관찰된 바 있다<sup>4)</sup>. 예를 들면  $x(\text{PT})=0.1$  조성의 시편의 경우  $T_{\text{cmax}}$ 는 40°C이지만<sup>11)</sup> 초전전류의 peak는 약 10°C 정도에서 나타님을 볼 수 있다.

Choi 등의 결과<sup>5,7)</sup>와 비교하여 볼 때  $x(\text{PT})=0.1\sim0.2$  조성인 (a)와 (b)에서의 sharp하게 나타나는 하나의 peak은 rhombohedral에서 cubic으로의 전이에 해당하는 peak으로 생각된다. 또한  $x(\text{PT})=0.3\sim0.35$ 에서의 두 개의 peak 가운데서 왼쪽 저온부에 나타나는 것은 rhombohedral-tetragonal의 전이에 해당하며 오른쪽 고온부에서 나타나는 것은 tetragonal-cubic의 전이에 해당한다고 생각된다. 전보(I)에서 보고된 유전율 결과와 비교하여 보면 모든 조성에서 유전율 최대의 온도( $T_{\text{max}}$ )와 초전전류 최대온도(polarization)이 없어지는 온도라는 의미로  $T_{\text{depol}}$ 로 표시한다.)는 일치하지 않는 것을 알 수 있다<sup>11)</sup>.  $x(\text{PT})=0.1, 0.2$ 일 때  $T_{\text{cmax}}=40, 65^\circ\text{C}$ 이고  $T_{\text{depol}}=10, 30^\circ\text{C}$ 로서 각각 약 30°C 정도의 차이가 나는 것을 볼 수 있다.  $x(\text{PT})=0.30\sim0.35$ 의 조성에 있어서는 유전율의 peak가 rhombohedral-tetragonal 전이에 해당하는 초전peak에서는 나타나지 않고 tetragonal-cubic 전이에 해당하는 초전peak에서는 나타나는 것을 볼 수 있다.

### 3.2. PT함량에 따른 S-E plot의 변화

Fig. 2(a)에는  $x(\text{PT})=0.1$  경우의 온도에 따른 전계유기변형의 크기를 초전계수와 유전율의 변화와 함께 나



**Fig. 2.** (a) Temperature dependence of the pyroelectric coefficients, dielectric constants and the strains induced by the bipolar electric field of 1.5 kV/mm in (1-x)PMN-xPT, where  $x=0.10$ .  
 (b) Temperature dependence of the pyroelectric coefficients, dielectric constants and the strains induced by the bipolar electric field of 1.5 kV/mm in (1-x)PMN-xPT, where  $x=0.20$ .  
 (c) Temperature dependence of the pyroelectric coefficients, dielectric constants and the strains induced by the bipolar electric field of 1.5 kV/mm in (1-x)PMN-xPT, where  $x=0.30$ .  
 (d) Temperature dependence of the pyroelectric coefficients, dielectric constants and the strains induced by the bipolar electric field of 1.5 kV/mm in (1-x)PMN-xPT, where  $x=0.35$ .  
 (e) Temperature dependence of the pyroelectric coefficients, dielectric constants and the strains induced by the bipolar electric field of 1.5 kV/mm in (1-x)PMN-xPT, where  $x=0.40$ .

타내었다.  $T_{\text{cmax}}$ 는 40°C이지만 strain의 최대가 되는 온도인  $T_{\text{smax}}$ 는 10°C로서  $T_{\text{cmax}}$ (40°C)와 일치하는 것이 아니라 초전전류의 최대온도인  $T_{\text{depol}}$ (10°C)과 일치하는 것을 볼 수 있다. 각각의 온도에서의 S-E plot들은 전보(I)에서 자세히 제시된 바 있는데<sup>11</sup>  $T_{\text{depol}}$  이하에서는 항전계와 residual strain이 존재하는 ferroelectric type의 나비형 변위특성을 보이고 있고  $T_{\text{depol}}$  이상으로 온도가 증가할 때는 변위의 이력이 없으면서 인가전계의 제곱에 비례하는 electrostrictive한 변위곡선이 얻어지는 것을 볼 수 있다. 최대 strain은 10°C 부근에서 얻어졌으며 100°C 이상의 온도에서는 측정이 거의 불가능할 정도로 작은 strain이 검출되고 있다.

Fig. 2(b)에는  $x(\text{PT})=0.2$ 인 경우의 결과를 나타내었다.  $x(\text{PT})=0.1$ 의 결과와 비슷하게  $T_{\text{cmax}}$ 와  $T_{\text{depol}}$ 은 약 30°C의 차이를 보이고 있고 strain이 최대가 되는 온도( $T_{\text{smax}}$ )와  $T_{\text{depol}}$ 은 거의 일치함을 볼 수 있다. 온도가  $T_{\text{smax}}$  아래로 내려갈 때의 온도변화에 따른 strain의 변화가  $x(\text{PT})=0.1$  경우보다 완만하며 -10°C 이하에서 strain은 다시 증가함을 볼 수 있다. 전체적인 발생 strain의 크기는  $x(\text{PT})=0.1$ 의 경우보다 약간 큰  $400 \times 10^{-6}$  정도의 값을 보임을 알 수 있다.  $T_{\text{depol}}$  이상으로 온도가 증가하면 발생 strain은 급속히 감소한다.

Fig. 2(c)에서  $x(\text{PT})=0.3$ 의 경우  $T_{\text{smax}}$ 는 첫 번째의 pyroelectric peak 즉 rhombohedral-tetragonal peak의 부근에서 나타나는 것을 알 수 있다. Pyroelectric peak들의 온도에 따른 변화가 상당히 broad한 양상을 보이는데 이는 상전이가 diffusive한 것임을 보여주는 것으로 판단된다. 주목 할 만한 것으로서 두 번째의 pyroelectric peak에서는 strain의 증가가 전혀 관찰되지 않고 첫 번째의 peak에서부터 급격히 감소하는 것을 알 수 있다. 이것은 유전율에 관해서는 tetragonal-cubic transition 즉 두 번째 pyroelectric peak에서 최대값이 얻어지는 것과 매우 대조적이다. 최대 strain은  $600 \times 10^{-6}$  정도의 값을 보이고 있다.

Fig. 2(d)의  $x(\text{PT})=0.35$ 의 경우는 Choi 등의 상도<sup>6,7)</sup>에서의 결과와 마찬가지로 tetragonal 영역(두개의 초전 peak 사이의 온도영역)이 확대되어 나타나고 있다. 역시 첫 번째의 pyroelectric peak에서 strain은 최대값을 보이고 있고 그 이상으로 온도가 증가하면서 strain은 급속히 감소하기 시작하고 있다. 발생 strain의 크기는 최고  $700 \times 10^{-6}$  정도로서 전 조성 가운데 가장 큰 값을 보이고 있다. 첫 번째의 pyroelectric peak의 양상을 상당히 diffusive한 양상을 보이는데 strain 역시 비슷한 broad한 크기변화를 보이고 있다. Strain은 첫 번째의 peak을

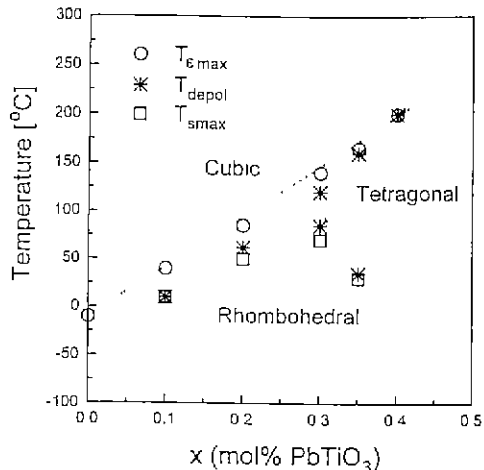


Fig. 3. The temperature of maximum dielectric constants ( $T_{\text{max}}$ ), the temperature of maximum strains ( $T_{\text{smax}}$ ), the temperature of maximum pyroelectric coefficients ( $T_{\text{depol}}$ ) in (1-x)PMN-xPT ( $x=0.1 \sim 0.4$ ). The phase relationships by Choi *et al* are also shown by the dotted lines<sup>6,7)</sup>.

지나면서 급격히 감소하고 있고 두 번째의 peak에서는 증가하는 경향이 없을 뿐 아니라 측정조차 불가능할 정도로 작은 값을 보이고 있다. 유전율의 최대값은  $T_{\text{max}}$ (160°C)에서 얻어짐을 고려할 때 이를 통해서 유전율 최대온도와 발생 strain의 최대온도와는 직접적인 연관성이 없음을 볼 수 있다. 전보(I)에 보고한 S-E plot을 관찰해 보면 항전계와 residual strain은 두 번째 pyroelectric peak(tetragonal-cubic transition)까지 계속 감소하는 경향임을 볼 수 있는데 이를 통해서 결정구조면에서는 rhombohedral, tetragonal 구조가 계속 유지되면서 다만 발생 strain만이 감소하고 있음을 알 수 있다.

Fig. 2(e)에는  $x(\text{PT})=0.4$ 인 경우에 해당하는 결과를 나타내었다. strain은 전 온도구간에서 단조감소하고 있음을 알 수 있다. 200°C 이하의 전 온도영역이 tetragonal상인데 온도증가에 따라 계속 항전계와 residual strain, 발생 strain의 크기가 단조감소하고 있음을 전보에서 확인한 바 있다<sup>11</sup>.  $T_{\text{max}}$ (200°C)에서 strain은 증가하지 않을 뿐 아니라 측정할 수 없을 정도의 양이었다. 결국 단순히 유전율이 높은 온도에서 strain이 최대가 되는 것은 아니라는 것을 알 수 있다.

### 3.3. 상관계와 strain maximum 온도

Fig. 3에 유전율 최대온도인  $T_{\text{max}}$ , 초전전류의 최대온도인  $T_{\text{depol}}$ , strain의 최대온도인  $T_{\text{smax}}$ 를 기준에 보고된

상관계와 함께 나타내었다. 점선으로 표시한 것이 기존의 문헌상에 보고된 상관계이다<sup>6,7)</sup>.  $T_{\text{emax}}$ 는 기존의 보고와 서로 잘 일치하는 경향을 보이고 있으며  $T_{\text{depol}}$ 은 확산상전이가 일어나는 조성에서는 항상  $T_{\text{emax}}$ 보다 낮으며 sharp한 상전이가 일어나는  $x(\text{PT})=0.4$ 에 가까워지면  $T_{\text{emax}}$ 과 일치하는 것을 알 수 있다. 몇몇 relaxor system에서도 이러한  $T_{\text{depol}}$ 이  $T_{\text{emax}}$ 보다 낮은 현상이 나타났으며<sup>8-10)</sup> 이는 macrodomain에서 microdomain으로의 분역구조의 변화가  $T_{\text{emax}}$ 보다 낮은 온도에서 발생하는데 기인하는 것으로 보고된 바 있다<sup>8)</sup>.  $x(\text{PT})=0.4$ 의 조성에서  $T_{\text{emax}}$ 과  $T_{\text{depol}}$ 이 일치하는 것은 BT나 PZT와 같은 정상강유전체에서는 두 값이 잘 일치하는 것을 고려할 때 normal phase transition에 가까워지면서 이 같은 결과가 나온 것이라고 볼 수 있다.

$x(\text{PT})=0.30 \sim 0.35$ 의 조성범위에서는 이미 제시된 바와 같이 rhombohedral-tetragonal 전이에서만 strain의 최대( $T_{\text{smax}}$ )가 관찰되었고 tetragonal-cubic 전이에서는 strain의 증가경향이 없었다.  $x(\text{PT})=0.4$ 의 경우에도 tetragonal-cubic의 상전이만이 나타나는데 이 전이에서도 strain의 증가는 관찰되지 않는다. 즉 이 경우는 strain의 최대값이 나타나지 않았다. 따라서 strain의 최대값은 확산상전이 온도 영역에서만 나타나며 유전율의 최대값과는 관련되는 것이 아님을 알 수 있다. 종래의 조성 및 온도에 따른 상관계의 작성은 고온 XRD등에 의한 방법으로 상 diagram을 작성하였으나 PMN과 같이 XRD 등과 같은 구조해석방법으로는 상변화를 알 수 없는 system의 경우에는 물성의 변화로서 온도에 따른 상변화를 알 수밖에 없다. 이 경우 종래에는 유전율의 변화만으로 상경계를 확인하였으나 본 연구결과를 통하여 유전율 maximum, pyroelectric peak, polarization maximum, strain maximum등으로 상경계를 더욱 확실하게 파악할 수 있는 가능성이 제시되었다.

### 3.4. BT 및 PZT계와의 비교

Fig. 4에는 BT와 PZT의 strain 크기변화를 온도변화에 대해 나타내었다. BT는 보통의 고상소결방법으로 준비된 시편으로서 첨가제가 없는 순수한 것이며 PZT는  $\text{Nb}_2\text{O}_5$ 가 첨가된 soft PZT 시편이다<sup>11)</sup>. BT의 경우는 많은 문헌에서 보고된 바와 같이 120°C에 유전율의 최대값을 보이고 있다<sup>2)</sup>. 이 온도는 tetragonal-cubic의 sharp한 상전이에 해당하는 것이며 초전전류의 최대값도 역시 120°C 부근에서 얻어지는 것이 확인되고 있다<sup>3)</sup>. BT와 같은 보통의 강유전체는 이와 같이 명확히 정의되는 sharp한 상전이온도가 있으며  $T_c$ 로 정의된다. BT에 있

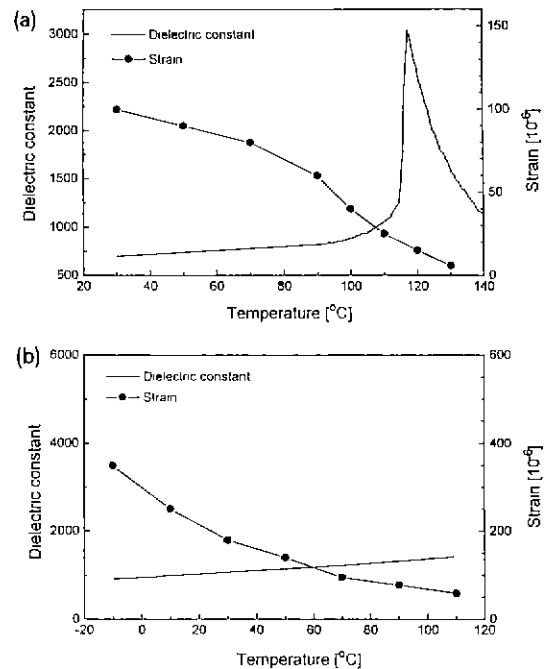
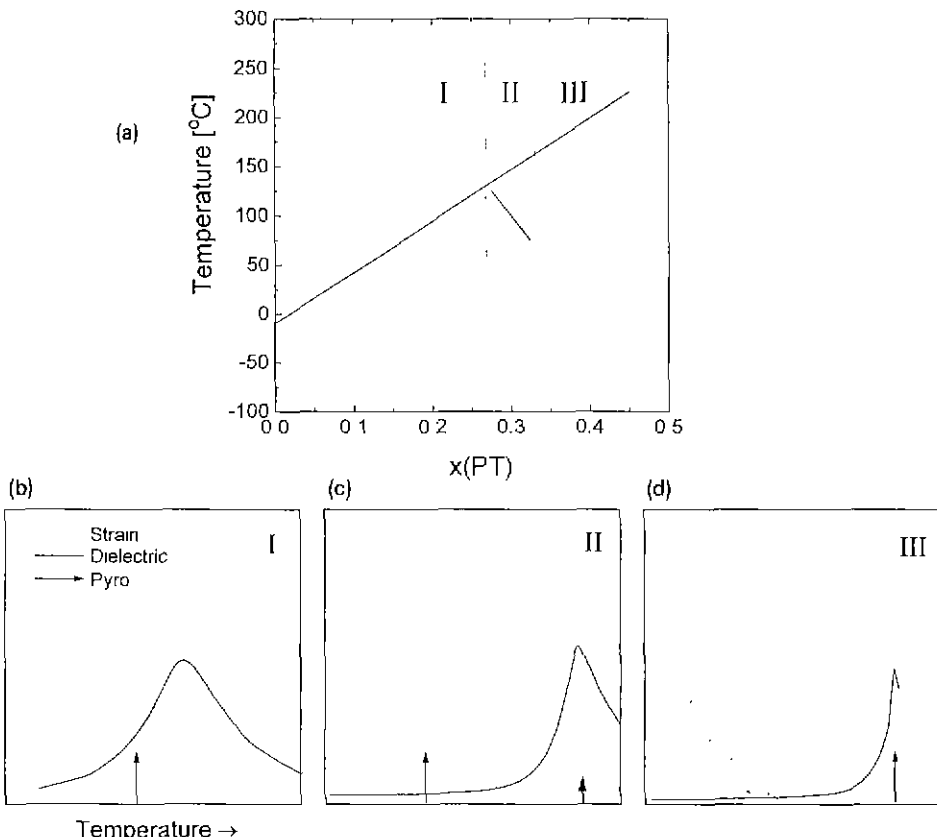


Fig. 4. Temperature dependence of the dielectric constant and the strains induced by the bipolar electric field of 1.5 kV/mm in BaTiO<sub>3</sub> (a) and PZT (b).

어서 상전이온도를 전후하여 전계인가변위를 측정한 문헌이 없는데 본 연구를 통해서는 그림에서 보는 바와 같이 발생 strain의 특이점이 없이 단조감소하는 것을 확인하였다. 이러한 결과는 PMN-PT계에서  $x(\text{PT})=0.4$ 의 결과와 일관되는 결과로서 normal phase transition에서는 strain의 증가가 나타나지 않음을 다시 한번 보여주는 것이다. 발생변위의 크기 면에서는 PMN계보다 훨씬 작은  $100 \times 10^{-6}$  이하의 값을 보여주었다. Fig. 4(b)에는 PZT의 경우에 유전율과 발생 strain의 온도의존성을 나타내었다. PZT는 BT와 같이 명확히 정의되는 sharp한 상전이온도인  $T_c$ 가 존재한다<sup>3)</sup>. 이 온도는 tetragonal-cubic의 상전이에 해당하는 것으로서 380°C 부근에 존재한다. PZT의 경우 역시 120°C까지의 구간에서 측정하였을 때 발생 strain은 단조감소하는 경향을 보이고 있으며 BT의 경우를 참조할 때  $T_c$ 에서도 strain이 증가하지는 않을 것으로 추측된다. 이상의 결과를 종합해 볼 때 tetragonal-cubic의 normal phase transition에서는 strain의 증가가 없고 rhombohedral에서 tetragonal 혹은 rhombohedral에서 cubic으로의 확산상전이가 일어나는 온도에서만 strain의 증가가 나타남을 알 수 있다.



**Fig. 5.** Three types of the temperature dependence of strain in (1-x)PMN-xPT system. Phase relationship (a), Type I (b), Type II (c), and Type III (d).

이를 PMN계에 있어서 세 가지 모델로서 Fig. 5에 나타내었다. 즉 PT의 함량이 증가하면서 상변화의 경향은 type I에서 type III까지의 형태로 나타나며 이에 따른 strain 거동도 세 가지로 나누어 볼 수 있다. 즉 PMN-PT계에서  $x(\text{PT})=0.1\sim0.2$ 는 type I에 해당하며  $x(\text{PT})=0.3\sim0.35$ 는 type II에 해당한다.  $x(\text{PT})=0.4$  및 BT와 PZT의 경우는 type III에 해당한다. Type II 영역의 존재여부는 MPB를 형성하는 조성이 온도변화에 따라 얼마나 변화하는가 하는 여부에 달려 있다. 이러한 분류와 strain 거동은 PMN-PT계 외에 PZN-PT, PMN-BT, PZN-BT등과 같은 계에서도 확인될 필요가 있으며 추후의 연구과제이다.

#### 4. 요약 및 결론

모든 조성에서 유전율 최대의 온도( $T_{\text{max}}$ )와 초전전류

최대온도( $T_{\text{depol}}$ )는 일치하지 않는 것을 알 수 있다.  $x(\text{PT})=0.1, 0.2$ 일 때  $T_{\text{max}}=40, 65^{\circ}\text{C}$ 이고  $T_{\text{depol}}=10, 30^{\circ}\text{C}$ 로서 각각 약  $30^{\circ}\text{C}$  정도의 차이가 나는 것을 볼 수 있다.  $x(\text{PT})=0.30\sim0.35$ 의 조성에 있어서는 유전율의 peak는 rhombohedral-tetragonal transition에서는 나타나지 않고 tetragonal-cubic transition에서 나타나는 것을 볼 수 있다. 그러나  $T_{\text{max}}$ 는 rhombohedral-tetragonal peak과 일치된다. Tetragonal-cubic transition에서는 strain의 증가가 전혀 관찰되지 않는다.  $x(\text{PT})=0.4$ 인 경우 및 BT의 경우 strain은 전 온도구간에서 단조감소하였고 유전율 최대인 tetragonal-cubic 전이 온도에서 strain은 증가하지 않을 뿐 아니라 측정할 수 없을 정도의 양이었다. 이를 통해 tetragonal-cubic의 normal phase transition에서는 strain의 증가가 없고 rhombohedral에서 tetragonal 혹은 rhombohedral에서 cubic으로의 확산상전이에서만 strain의 증가가 나타남을 알 수 있다.

## REFERENCES

1. 박재환, 홍국선, 박순자, "Pb(Mg<sub>1/3</sub>Nb<sub>2/3</sub>)O<sub>3</sub>-PbTiO<sub>3</sub>계 완화형 강유전체에서의 PbTiO<sub>3</sub> 첨가량에 따른 초전, 유전, 전왜특성의 상호관계; I 전왜특성 및 유전특성," *한국요업학회지*, 33(4), 391-98 (1996).
2. R.L. Byer and C.B. Roundy, "Pyroelectric Coefficient Direct Measurement Technique and Applications to a NSEC Response Time Detector," *Ferroelectrics*, 3, 333-38 (1972).
3. B. Jaffe, W.R. Cook, Jr., and H. Jaffe, *Piezoelectric Ceramics*, Academic Press, London (1971).
4. W. Pan, L.E. Cross, G.O. Dayton, and E. Furman, "Dielectric Aging Effects in Doped Lead Magnesium Niobate Lead Titanate Relaxor Ferroelectric Ceramics," *J Mat. Sci. Lett.*, 5(6), 647-49 (1986).
5. E.T. Keve and A.D. Annis, "Studies of Phases, Phase Transitions and Properties of Some PLZT Ceramics," *Ferroelectrics*, 5, 77-89 (1973).
6. S.W. Choi, T.R. Shrout, S.J. Jang, and A.S. Bhalla, "Dielectric and Pyroelectric Properties in the Pb (Mg<sub>1/3</sub>Nb<sub>2/3</sub>)O<sub>3</sub>-PbTiO<sub>3</sub> System," *Ferroelectrics*, 100, 29-38 (1989).
7. S.W. Choi, T.R. Shrout, S.J. Jang, and A.S. Bhalla, "Morphotropic Phase Boundary in Pb(Mg<sub>1/3</sub>Nb<sub>2/3</sub>)O<sub>3</sub>-PbTiO<sub>3</sub> system," *Mater. Lett.*, 8(6,7), 253-55 (1989).
8. U. Kumar, L.E. Cross, and A. Halliyal, "Pyroelectric and Electrostrictive Properties of (1-x-y)PZN·xPT·yPT Ceramic Solid Solutions," *J. Am. Ceram. Soc.*, 75(8), 2155-64 (1992).
9. A.M. Glass, "Investigation of the Electrical Properties of Sr<sub>1-x</sub>Ba<sub>x</sub>Nb<sub>2</sub>O<sub>6</sub> with Special Reference to Pyroelectric Detection," *J Appl. Phys.*, 40(12), 4699-71.
10. A.S. Bhalla and L.E. Cross, "Primary and Secondary Pyroelectricity in Proper and Improper Ferroelectricity," *Ferroelectrics*, 38, 953-38 (1981).
11. Jae-Hwan Park, Byung-Kook Kim, Kug-Hyun Song, and Soon Ja Park, "Piezoelectric Properties of Nb<sub>2</sub>O<sub>5</sub> Doped and MnO<sub>2</sub>-Nb<sub>2</sub>O<sub>5</sub> Co-Doped Pb(Zr<sub>0.55</sub>Ti<sub>0.47</sub>)O<sub>3</sub> Ceramics," *Journal of Materials Science: Materials in Electronics*, 6, 97-101 (1995).